

М. А. ЗАДОЯН

## ОБ ОДНОЙ КОНТАКТНОЙ ЗАДАЧЕ НЕЛИНЕЙНОЙ ТЕОРИИ ПОЛЗУЧЕСТИ ДЛЯ ПЛИТЫ НА УПРУГОМ ОСНОВАНИИ

**1. Исходные соотношения.** Предлагается вариационный способ исследования плоской и осесимметричной задачи о прижатии сосредоточенной силой  $P(t)$  бесконечной невесомой плиты, лежащей на упругом основании. Считается, что между плитой и основанием касательные напряжения отсутствуют, а область контакта должна быть определена. Плита является трехслойной с симметричными тонкими усиливающими покрытиями. Толщина покрытия  $\Delta$  принимается малой по сравнению с толщиной плиты  $h$ , а материал покрытия считается линейно-упругим с модулем упругости  $E_1$  и коэффициентом Пуассона  $\nu_1$ . Средний слой плиты считается изготовленным из нелинейного наследственно-стареющего материала, подчиняющегося соотношениям Н. Х. Арутюняна [1]. Модуль упругости и коэффициент Пуассона материала среднего слоя обозначим через  $E_2$ ,  $\nu_2$ , а упругого основания —  $E_3$ ,  $\nu_3$ .

Вопросам контактных напряжений при ползучести посвящены исследования [2—13] и др. В книгах [3, 9, 10] содержится подробная библиография и анализ работ в этой области.

Соотношения между кривизнами  $\gamma_{ij}$  и моментами  $M_{ij}$  нелинейно наследственно ползучей трехслойной плиты при изгибе принимаем согласно зависимостям [14]

$$\begin{aligned} \gamma_{ij} = A [(1 + \nu) M_{ij}^* - 2\nu \delta_{ij} M^*] + \\ + \int_{-\infty}^t F(R_0) [(1 + \nu) M_{ij}^* - 2\nu \delta_{ij} M^*] K(t, \tau) d\tau \end{aligned} \quad (1.1)$$

Здесь  $\delta_{ij}$  — символ Кронекера,  $A = 12/Eh^3$ ,  $2M^* = M_{11}^* + M_{22}^*$

$$M_{ij}^* = M_{ij} - D[(1 - \nu_2) \gamma_{ij} + 2\nu_1 \delta_{ij} \gamma], \quad D = \frac{E_1 \Delta h^2}{2(1 - \nu_1)} \quad (1.2)$$

$$2\gamma = \gamma_{11} + \gamma_{22}, \quad F(R_0) = \frac{12}{h^3} \beta_1 + \frac{6^{m+1} \beta_m R_0^{m-1}}{(m+2) h^{2m+1}} \quad (1.3)$$

$$R_0 = \sqrt{M_{11}^{*2} - 2\nu M_{11}^* M_{22}^* + M_{22}^{*2} + 2(1 + \nu) M_{12}^{*2}} \quad (1.4)$$

а ядро ползучести [1]

$$K(t, \tau) = -\frac{\partial}{\partial \tau} \varphi(\tau) [1 - e^{-\eta(t-\tau)}] \quad (1.5)$$

При этом  $\varphi(\tau)$  учитывает старение материала при постоянном модуле упруго-мгновенной деформации. Согласно экспериментальным данным К. С. Карапетяна [15], относящимся к тяжелому бетону,

$$\beta_1 = 0.999995, \quad \beta_2 = 0.000005 \frac{cm^6}{kN^3}, \quad m = 4$$

$$\varphi(\tau) = \frac{A_1}{b + \tau^2} + C; \quad C = 0.28 \cdot 10^{-5} \frac{cm^2}{kN}, \quad A_1 = 4450 \cdot 10^{-5} \frac{cm^5}{kN^2}$$

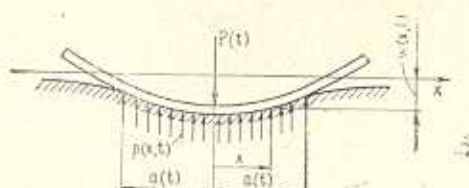
$$b = 3030 \text{ дн}, \quad \gamma = 0.03; \quad E = 2 \cdot 10^5 \frac{kN}{cm^2} \quad (1.6)$$

Аналитическим представлением ядра (1.5) хорошо описывается также ползучесть полимерных материалов.

**2. Плоская задача.** Рассмотрим цилиндрический изгиб сосредоточенной силой  $P(t)$  прямоугольной плиты (балочной плиты) на упругом основании (фиг. 1). Длину неизвестной переменной во времени контактной области обозначим  $2a(t)$ , а прогиб плиты (осадка основания) —  $w(x, t)$ . Тогда реактивное давление основания в случае плоской деформации будет [16]

$$p(x, t) = -\frac{E_p}{2\pi(1-\nu_0^2)} \sqrt{a^2(t)-x^2} \int_{-a(t)}^{a(t)} \frac{\frac{\partial w(\xi, t)}{\partial \xi}}{\sqrt{a^2(t)-\xi^2}} \frac{d\xi}{\xi-x} \quad (2.1)$$

Для цилиндрического изгиба плиты (фиг. 1), принимая прямоугольную систему координат  $(x, y)$ , будем иметь



Фиг. 1.

$$z_x = -\frac{\partial^2 w}{\partial x^2}, \quad z_{xy} = z_y = 0 \quad (2.2)$$

Из (1.1), (1.2) и (1.4) получаем

$$M_y^* = \nu M_x^*, \quad M_x^* = M_x - D z_x,$$

$$P_0 = \sqrt{1-\nu^2} |M_x^*| \quad (2.3)$$

Тогда соотношение между кривизной и моментом примет вид

$$z_x = (1-\nu^2) \left[ A M_x^* + \int_{z_1}^t F(R) M_x^* K(t, \tau) d\tau \right] \quad (2.4)$$

Введем обозначение —  $w_*(x, t) = w(0, t) - w(x, t)$ ,

$$W = z_x M_x^* + \frac{D}{2} z_x^2 - (1-\nu^2) \left[ \frac{A}{2} M_x^{*2} + \int_{z_1}^t F(R) M_x^* M_x^*(t) K(t, \tau) d\tau \right] \quad (2.5)$$

В момент  $t$  величинам  $\epsilon_x$  и  $M_x$  сообщим вариации  $\delta\epsilon_x$  и  $\delta M_x$ , которые считаем независимыми, причем  $\delta M_x^* = \delta M_x - D\delta\epsilon_x$ . Принимаем  $\epsilon_x$ ,  $M_x$ ,  $p$  и  $a$  зависящими от  $x$ ,  $t$  и от длины контактной поверхности  $a(t)$ . Тогда смешанное вариационное уравнение нашей задачи с учетом изменения неизвестной границы области контакта будет

$$\int_0^{a(t)} \left[ W(x, a, t) - W(x, x, t) - \int_0^{a(t)} p(x, a, t) \frac{\partial w_*(x, a, t)}{\partial a} dx \right] dx = 0 \quad (2.6)$$

Здесь кривизна и момент варьируются независимо.

Вариационное уравнение (2.6) с переменкой границей области контакта, где кривизна и момент варьируются независимо, эквивалентно совокупности зависимостей, состоящей из уравнений равновесия, граничных условий и соотношений между кривизной и моментом.

Действительно, производя операцию варьирования в (2.6), приходим к уравнению

$$\int_0^{a(t)} \delta W(x, a, t) dx - \int_0^{a(t)} p(x, a, t) [\delta w(0, t) - \delta w(a, t)] dx = 0$$

где

$$\begin{aligned} \delta W = & \left\{ \epsilon_x - (1 - v^2) \left[ AM_x^* + \int_{z_1}^z F(R_0) M_x^*(z) K(t, z) dz \right] \right\} \delta M_x^*(t) + \\ & + (M_x^* + D\epsilon_x) \delta \epsilon_x \end{aligned}$$

Далее, учитывая (2.3) и условие статики

$$2 \int_0^{a(t)} p(x, t) dx = P(t)$$

после преобразований, принимая во внимание независимость вариаций  $\delta w$  и  $\delta M^*$ , приходим к вышеуказанному заключению.

Прогиб плиты ищем в виде разложения степенного ряда по четным степеням  $x$

$$w(x, t) = \psi_0(t) + \psi_2(t)x^2 + \psi_4(t)x^4 + \dots \quad (2.7)$$

где  $\psi_i(t)$  — неизвестные функции времени. Ограничиваюсь первыми двумя членами и обозначая  $\psi_2(t) = -\psi(t)$ , из (2.1) будем иметь

$$p(x, t) = \frac{E_0 \psi(t)}{1 - v_0^2} V \sqrt{a^2(t) - x^2} \quad (2.8)$$

Из условия ограниченности напряжений на концах контакта [16]

$$\int_{-a(t)}^{a(t)} \frac{\partial w(\xi, t)}{\partial \xi} \frac{\xi d\xi}{\sqrt{a^2(t) - \xi^2}} = -\frac{\pi^2 E_0}{2(1 - v_0^2)} P(t) \quad (2.9)$$

находим

$$\psi(t) = \frac{2(1 - v_0^2)}{\pi E_0} P(t) a^{-2}(t) \quad (2.10)$$

Подставляя в (2.5) — (2.6)  $w = \psi(t)x^2$ , значение  $p(x, t)$  из (2.7) и  $z_x = 2\psi(t)$ , приходим к вариационному уравнению

$$\left\{ \varphi - \frac{1 - v^2}{2} \left[ AM_x + \int_{-1}^1 F(R) M_z K(t, z) dz \right] \right\} \delta M_x + \\ + \left[ M_x - \frac{\pi E_0 a^3 \nu}{32(1 - v_0^2)} \right] \delta \varphi = 0 \quad (2.11)$$

Приравнивая нулю множители при вариациях, исключая  $\psi$  и вводя обозначения  $K_1(t, z) = EK(t, z)$ ,  $X(t) = a(t)/a_0$ , где  $a_0 = a(z_1)$ ,

$$a_0 = h \sqrt[3]{\frac{16}{3\pi} \frac{1 - v_0^2}{1 - v^2} \frac{E}{E_0} (1 + \nu)}, \quad \nu = 6 \frac{1 - v^2}{1 - v_1^2} \frac{L_1 \Delta}{E h} \quad (2.12)$$

при  $P(t) = P_0 = \text{const}$ , приходим к нелинейному интегральному уравнению

$$X^{-2} = X + \int_{-1}^t H(X) K_1(t, z) dz \quad (2.13)$$

причем

$$H(X) = \beta_1 (X - \nu_1 X^{-2}) + B_m (X - \nu_1 X^{-2})^m \quad (2.14)$$

$$B_m = \frac{3\beta_m}{m+2} \left( \sqrt{\frac{1 - v^2}{1 - v_1^2}} \frac{3P_0 a_0}{8h^2} \right)^{m-1}, \quad \nu_1 = \frac{\nu}{1 + \nu} \quad (2.15)$$

Для случая старого материала имеем  $K_1(t, z) = ECz e^{-z(t-z)}$ , и уравнение приводится к нелинейному дифференциальному уравнению первого порядка с разделяющимися переменными, решение которого приводится в квадратурах

$$t - z_1 = \frac{1}{\gamma} \int_{-X}^1 \frac{(2 + x^2) dx}{x [ECx^2 H(x) + x^3 - 1]} \quad (2.16)$$

Переходя к пределу при  $t \rightarrow \infty$ , для случая старого материала из (2.13) для значения  $X_\infty = X(\infty)$  получаем алгебраическое уравнение

$$X_*^3 + ECX_*^2 H(X_*) = 1 \quad (2.17)$$

При  $m = 4$  и отсутствии усиливающих покрытий  $\mu_1 = 0$  находим

$$X_* = \sqrt[3]{-\frac{1 + ECB_*^2}{2ECB_*} + \sqrt{\left(\frac{1 + ECB_*^2}{2ECB_*}\right)^2 + \frac{1}{ECB_*}}} \quad (2.18)$$

где  $B_*$  определяется из (2.15), где положено  $m = 4$

$$B_* = \frac{\beta_4}{2} \left( \sqrt{1 - \frac{3P_0 a_0}{8h^2}} \right)^3 \quad (2.19)$$

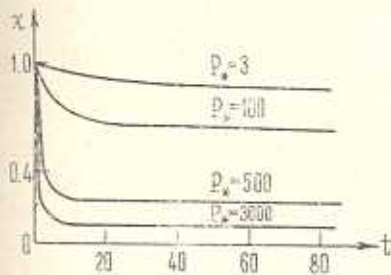
При учете старения материала интегральное уравнение (2.13), вводя обозначение  $\gamma t = t_*$ , а затем опуская знак  $(^*)$ , можно привести к системе из двух дифференциальных уравнений

$$\dot{X} = V$$

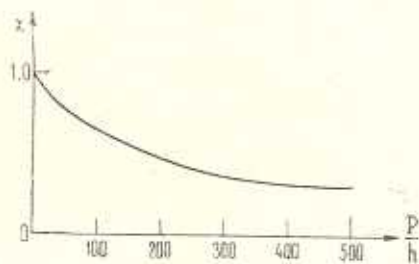
$$X(X^3 + 2) \dot{V} = 6V^2 -$$

$$- [X^3 + 2 + E_2(t)(X^3 + 2\mu_1)[\beta_1 + mB_m(X - \mu_1 X^{-2})^{m-1}]] V$$

с начальными условиями  $X(z_1) = 1$ ,  $V(z_1) = -\frac{1}{3} \tau(z_1) EH(1)$ , решение которой реализуется на ЭВМ.



Фиг. 2.



Фиг. 3.

Интегральное уравнение (2.13) можно решить также непосредственно итерационным способом на ЭВМ.

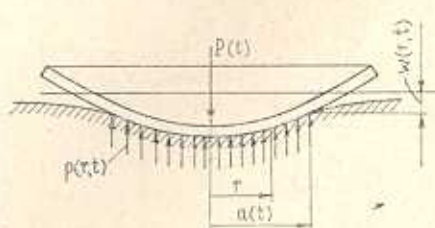
На фиг. 2 и 3 изображены графики изменения  $X_*$  (2.18) и  $X$  (2.16) соответственно для числовых значений параметров (1.6) и  $E_0 = 2 \cdot 10^9 \text{ кг/см}^2$ .

**§ 3. Осесимметрическая задача.** В случае осесимметричного изгиба плиты на упругом основании сосредоточенной силой  $P(t)$  (фиг. 4) радиус неизвестной переменной во времени контактной области обозначим  $a(t)$ , а прогиб плиты (осадка основания) —  $w(r, t)$ . Тогда реактивное давление основания определится формулой [16]

$$p(r, t) = -\frac{1}{2\pi} \int_r^{a(t)} \frac{\partial F_1(\xi, t)}{\sqrt{\xi^2 - r^2}} d\xi \quad (3.1)$$

$$F_1(r, t) = \frac{2E_0}{1 - \eta_0^2} \left[ w(0, t) + r \int_0^r \frac{1}{\sqrt{r^2 - \xi^2}} \frac{\partial w(\xi, t)}{\partial \xi} d\xi \right] \quad (3.2)$$

В случае осевой симметрии имеем



Фиг. 4.

$$\begin{aligned} z_r &= -\frac{\partial^2 w}{\partial r^2}, & z_\theta &= -\frac{1}{r} \frac{\partial w}{\partial r} \\ z_{\eta_0} &= 0 \end{aligned} \quad (3.3)$$

Введем обозначения  $w_*(r, t) = w(0, t) - w(r, t)$

$$\begin{aligned} W(r, t) &= z_r M_r^* + z_\theta M_\theta^* + \\ &+ \frac{D}{2} z_0^2 - \frac{A}{2} R_0^2 - \int_{z_0}^t F(R_0) [(M_r^* - v M_\theta^*) M_r^*(t) + \\ &+ (M_\theta^* - v M_r^*) M_\theta^*(t)] K(t, z) dz \end{aligned} \quad (3.4)$$

где

$$\begin{aligned} z_0^2 &= z_r^2 + 2v_z z_r z_\theta + z_\theta^2 \\ R_0^2 &= M_r^{*2} - 2v M_r^* M_\theta^* + M_\theta^{*2} \end{aligned} \quad (3.5)$$

Принимаем, что кривизны, моменты, прогиб и реактивное давление зависят от радиуса контактной области. Вариационное уравнение рассматриваемой задачи представим в виде

$$\delta \int_0^{a(t)} \left\{ W(r, a, t) - W(r, r, t) - \int_0^{a(t)} p(r, a, t) \frac{\partial w_*(r, a, t)}{\partial a} da \right\} r dr = 0 \quad (3.6)$$

Это смешанное вариационное уравнение с переменными границами эквивалентно совокупности соотношений, состоящей из уравнений равновесия плиты, граничных условий и зависимостей между кривизнами и моментами. Действительно, производя варьирование в (3.6), получим

$$\int_0^{a(t)} \delta W(r, a, t) r dr - \int_0^{a(t)} p(r, a, t) [\delta w(0, t) - \delta w(r, t)] r dr = 0$$

где

$$\delta W = [M_r^* + D(z_r + \nu_1 z_b)] \delta z_r + \{ \} \delta z_b + \{ z_r - A(M_r^* - \nu_1 M_b^*) - \\ - \int_{z_1}^t F(R_0) (M_r^* - \nu M_b^*) K(t, z) dz \} \delta M_r^*(t) + \{ \} \delta M_b^*(t)$$

Далее, учитывая условие статики

$$2\pi \int_0^{a(t)} p(r, t) r dr = P(t)$$

после определенных преобразований, принимая во внимание независимость вариаций  $\delta w$  и  $\delta M_r^*$ ,  $\delta M_b^*$ , приходим к вышеуказанному заключению.

Разложим прогиб плиты в степенной ряд по четным степеням  $r$

$$w(r, t) = \psi_0(t) + \psi_2(t) r^2 + \psi_4(t) r^4 + \dots \quad (3.7)$$

и ограничимся первыми двумя членами, причем обозначим  $\psi_2(t) = -\psi(t)$ . Тогда

$$z_r = z_b = 2\psi(t), \quad M_r = M_b \quad (3.8)$$

$$M_r^* = M_r - 2(1 + \nu_1) D \psi, \quad z_0 = \sqrt{2(1 + \nu_1)} |z_r|, \quad R_0 = \sqrt{2(1 - \nu)} |M_r^*| \quad (3.9)$$

Соотношение между кривизнами и моментами в этом случае будет

$$z_r = (1 - \nu) \left[ AM_r^* + \int_{z_1}^t F(R_0) M_r^* K(t, z) dz \right] \quad (3.10)$$

Подставляя выражение (3.7) в (3.1)–(3.2) и интегрируя, получим

$$p(r, t) = \frac{4E_0 \psi(t)}{\pi (1 - \nu_0^2)} \sqrt{a^2(t) - r^2} \quad (3.11)$$

Условие ограниченности напряжений на границе контактной области  $F_1(a, t) = 0$  и статическое условие [16]

$$\int_0^{a(t)} F_1(r, t) dr = P(t) \quad (3.12)$$

дают

$$\psi_0(t) = \frac{3}{4} \frac{1 - \nu_0^2}{E_0} P(t) a^{-2}(t), \quad \psi(t) = \frac{3}{8} \frac{1 - \nu_0^2}{E_0} P(t) a^{-3}(t) \quad (3.13)$$

Выражение (3.4) примет вид

$$W(r, t) = 2\gamma_r M_r^* + D(1 + \gamma_1) r_r^2 - \\ - 2(1 - \gamma) \left[ \frac{A}{2} M_r^{*2} + \int_{\tau_1}^t F(R_0) M_r^* M_r^*(t) K(t, \tau) d\tau \right] \quad (3.14)$$

Тогда вариационное уравнение (3.6) принимает вид

$$\frac{d}{dt} \left[ -\frac{1 - \gamma}{2} \left[ A M_r^* + \int_{\tau_1}^t F(R_0) M_r^* K(t, \tau) d\tau \right] \right] \delta M_r^* + \\ + \left[ M_r^* + 2(1 + \gamma_1) D \dot{\gamma} - \frac{4}{15} \frac{E_0^2 a^3}{\pi(1 - \gamma_0^2)} \right] \delta \dot{\gamma} = 0 \quad (3.15)$$

Приравнивая нулю множители при вариациях, исключая  $\Psi$ , вводя обозначение  $X(t) = a(t)/a_0$ , где  $a_0 = a(\tau_1)$ ,

$$a_0 = h \sqrt[3]{\frac{5\pi}{8} \frac{1 - \gamma_0^2}{1 - \gamma} \frac{E}{E_0} (1 + \mu)}, \quad \mu = 6 \frac{1 - \gamma}{1 - \gamma_1} E h \quad (3.16)$$

и принимая  $P(t) = P_* = \text{const}$ , приходим к нелинейному интегральному уравнению

$$X^{-3} = 1 + \int_{\tau_1}^t H(X) K_1(t, \tau) d\tau \quad (3.17)$$

Здесь

$$H(X) = \beta_1 (1 - \mu_1 X^{-3}) + B_m (1 - \mu_1 X^{-3})^m \quad (3.18)$$

$$B_m = \frac{3\beta_m}{m+2} \left[ \frac{3\sqrt{2(1-\gamma)}}{5\pi} \frac{P_0}{h^2} \right]^{m+1}, \quad \mu_1 = \frac{\mu}{1+\mu} \quad (3.19)$$

Интегральное уравнение (3.17) для случая старого материала приводится к нелинейному дифференциальному уравнению первого порядка с разделяющимися переменными, решение которого приводится в квадратурах

$$t - \tau_1 = \frac{1}{\gamma} \int_{\tau_1}^{X^{-3}} \frac{d\zeta}{1 - \zeta + ECH(\zeta)} \quad (3.20)$$

Для однородной плиты  $\mu_1 = 0$  из (3.17) получим

$$X = [1 + (\beta_1 + B_m) E\varphi(\tau_1) [1 - e^{-\gamma(t-\tau_1)}]]^{-1/3} \quad (3.21)$$

Переходя к пределу при  $t \rightarrow \infty$ , из (3.21) получаем значение  $X_* = X(\infty)$  для однородной плиты

$$X_* = [1 + (\beta_1 + B_m) E\varphi(\tau_1)]^{-1/3} \quad (3.22)$$

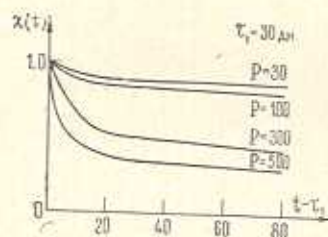
Для составной плиты при учете старения материала интегральное уравнение (3.17), введя обозначения  $\psi = t_*$ , а затем опуская индекс \*, можно привести к системе из двух дифференциальных уравнений

$$-3X^{-4}\dot{X} = V$$

$$\dot{V} = -[1 + E_0(t)\mu_1[\beta_1 + mB_m(1 - \mu_1 X^{-3})^{m-1}]] V \quad (3.23)$$

с начальными условиями  $X(\tau_1) = 1$ ,  $V(\tau_1) = E_0(\tau_1)H(1)$ , решение которой можно реализовать на ЭВМ.

Нелинейное интегральное уравнение (3.17) можно решить применением итерационного процесса на ЭВМ.



Фиг. 5.

На фиг. 5 изображен график изменения  $X$  (3.21) для значений параметров (1.6) и  $E_0 = 2 \cdot 10^3$  кг/см<sup>2</sup>.

Институт механики  
АН Армянской ССР

Поступила 4 I 1979

У. А. ГАГАРИН

ԱՐՄԱՆԻԱՆ ՀԵՂԻ ՎՐԱ ԳՏԵՎՈՒ ՍԱԼԻ ՀԱՄԱՐ ՍՈՂՔԻ  
ՈՉ ԿԾԱՅԻՆ ՏԵՍՈՒԹՅԱՆ ԿՈՆՏԱԿՏԱՅԻՆ ՄԻ ԽՆԴՐԻ ՄԱՍԻՆ

Ա մ ֆ ո ւ մ

Վարիացիոն եղանակով ուսումնասիրվում է ոչ գծային սողքով օժտված սալի ծոռամբ առաձգական հիմքի վրա կենտրոնացած ուժի ազդեցության տակ: Սալը ընդունվում է եռաշերտ սիմետրիկ ուժեղացնող ժամկույթներով, իսկ հպոմբ հիմքի հետ ենթադրվում է առանց կապակցող ուժերի: Օդովելով սալի միջին մակերեսովի կորումյունների և մումենտների միջև հեղինակի նախորդ աշխատանքում առաջարկված անբացահայտ առքնչությունից, թեյսների ընդհանրացած վարիացիոն հավասարությաց, ինչպես նաև սալի ճկվածքի պարարության ձևի ենթադրությունից կոնտակտի, ժամանակակից կախված, անհայտ շափի համար ստացվում է ոչ գծային ինտեղուոյ հավասարում: Այդ հավասարումը ծերացած նյութի և հաստատուն ուժի դեպքում բիրվում է առաջին կարգի դիֆերենցիալ հավասարման, որի լուծումը արվում է քառակառացման միջոցով: Ուսումնասիրվում են հարթ և առանցքասիմետրիկ խըն-

պիրուները: Տեսական և թվային օրինակների հիման վրա ստացված արդյունքները ցույց են տալիս, որ ժամանակի ընթացքում սողբի հաւաքներով կանուակախ շափը նվազում է: Ստացվում է նաև կոնտակտի շափի կախումը կենտրոնացած ուժի մեծոթյունից: Ուժի մեծանալոց փոքրանում է կոնտակտի շափը:

## ON A CONTACT PROBLEM IN THE NON-LINEAR THEORY OF CREEP FOR A PLATE ON ELASTIC FOUNDATION

M. A. ZADOYAN

### Summary

Non-linear creep in the problem on the bending of a plate on elastic foundation under concentrated force is investigated by the variational method. The plate is assumed to be three-layered with a symmetric strengthening covering, and the contact with foundation is taken to be without cohesion. Using the implicit relations between curvatures and moments, proposed earlier by the author, and the generalized variational equation of Reisner, as well as the assumption of a parabolic shape of flexure, for the size of contact a non-linear integral equation is obtained, which in the case of constant force and aged material is solved in quadratures.

A plane and axisymmetric problem is discussed as well. The conclusions, drawn on the basis of theoretical investigations and numerical calculations, show in particular that in the case of constant force due to creep the size of contact decreases. The relation between the contact length and the value of concentrated force is also obtained.

### ЛИТЕРАТУРА

1. Арутюнян Н. Х. Некоторые вопросы теории ползучести. М.—Л., ГИТТА, 1952.
2. Арутюнян Н. Х., Абрамян Б. Л. О температурных напряжениях в прямоугольных блоках. Изв. АН Арм. ССР, серия ФМЕТ наук, 1955, т. 8, № 4.
3. Работнов Ю. Н. Ползучесть элементов конструкции. М., «Наука», 1966.
4. Арутюнян Н. Х. Плоская контактная задача теории ползучести. ПММ, 1959, т. 23, в. 5.
5. Задоян М. А. Термоапрессированное состояние бетонных блоков с учетом ползучести материала. Изв. АН Арм. ССР, сер. физ.-мат. наук, 1957, т. 10, № 5.
6. Задоян М. А. Об одной вариационной задаче о прижатии слоя к основанию при учете реологических свойств материалов. Изв. АН Арм. ССР, сер. техн. наук, 1977, т. 30, № 5.
7. Прохопович Н. Е. О решении плоской контактной задачи с учетом ползучести. ПММ, 1956, т. 20, в. 6.
8. Lee H. H., Radok J. R. M. The contact problem for viscoelastic bodies. J. Appl. Mech., 1960, v. 27, No. 3.
9. Ширинкулов Т. Ш. Методы расчета конструкций на сплошном основании с учетом ползучести. Ташкент, Изд-во «ФАН», Узб. ССР, 1969.

10. Развитие теории контактных задач в СССР, АН СССР, Ин-т пробл. механики, М., «Наука», 1976.
11. Розовский М. И. О влиянии реологических свойств основания и лежащих на нем полосы и круглой плиты на показатели их гибкости. Сб. «Реологические вопросы механики горных пород», Алма-Ата, изд-во АН Каз. ССР, 1964.
12. Шекян А. А. Осесимметрическая контактная задача нелинейной теории неустанавливающейся ползучести. Изв. АН Арм. ССР, Механика, 1978, т. 31, № 6.
13. Гайгова Л. М. Расчет на изгиб упруго-ползучей железобетонной плиты на упруго-ползучем основании. Изв. АН Арм. ССР, сер. техн. наук, 1976, т. 29, № 4.
14. Задоян М. А. Смешанное вариационное уравнение для пластин и оболочек из нелинейного наследственно-стареющего материала. Изв. АН СССР, МТТ, 1979, № 6.
15. Карапетян К. С. Влияние старения бетона на зависимость между напряжениями и деформациями ползучести. Изв. АН Арм. ССР, сер. ФМЕТ наук, 1959, т. 12, № 4.
16. Штаерман И. Я. Контактная задача теории упругости. М., Госиздат, 1949.